

СООБЩЕНИЯ
ОБЪЕДИНЕННОГО
ИНСТИТУТА
ЯДЕРНЫХ
ИССЛЕДОВАНИЙ

ДУБНА



СЗ44.1Р

С-76

24/5-75

1 - 8358

687/2-75

В.С.Ставинский

ТРАНСМИССИОННЫЙ МЕТОД ИЗМЕРЕНИЯ
ПОЛНЫХ СЕЧЕНИЙ ВЗАИМОДЕЙСТВИЯ

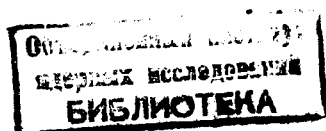
1974

ЛАБОРАТОРИЯ ВЫСОКИХ ЭНЕРГИЙ

1 - 8358

В.С.Ставинский

ТРАНСМИССИОННЫЙ МЕТОД ИЗМЕРЕНИЯ
ПОЛНЫХ СЕЧЕНИЙ ВЗАИМОДЕЙСТВИЯ



Ставинский В.С.

1 - 8358

Трансмиссионный метод измерения полных сечений
взаимодействия

В работе проводится анализ трансмиссионного метода измерения
полных сечений взаимодействия при высоких энергиях.

Сообщение Объединенного института ядерных исследований
Дубна, 1974

Трансмиссионный метод, или метод пропускающих счетчиков, - наиболее распространенный способ измерения ослабления пучка частиц рассеивателем. Подавляющее число мировых данных по полным сечениям взаимодействия частиц с веществом получено трансмиссионным методом. Идея метода по существу заимствована из работ по измерению коэффициента экстинкции в области частот оптического спектра ^{1,2/}. На рис. 1 показана принципиальная схема такого опыта. Источник исследуемого излучения /Т/ помещается в фокальной плоскости объектива L_1 . Призма П, объектив L_2 и щель D_1 образуют монохроматор. На участке между объективами L_3 и L_4 , образующими пучок параллельных лучей, помещается исследуемое вещество P_1 . В фокусе объектива L_4 необходимого диаметра диафрагма D_2 определяет область чувствительности регистрации интенсивности излучения. По ослаблению интенсивности света введенным в пучок образцом /исследуемое вещество/ можно определить коэффициент экстинкции.

Измерение полных сечений взаимодействия в физике элементарных частиц трансмиссионным методом осуществляется аналогичным образом. Только теперь П/рис. 1/ означает анализирующий по импульсу магнит, D_1 - импульсный коллиматор, D_2 - сцинтилляционный /трансмиссионный/ счетчик, диаметр которого определяет телесный угол из центра рассеивателя $/P_2/$, помещенного всегда после объектива L_4 . Иногда сохраняется и участок параллельного пучка, необходимый для сепарации частиц по массам /скорости/ при фиксированном импульсе, которая осуществляется дифференциальным черенковским счетчиком /С/, разрешение которого по скорости в значительной степени определяется угловым разбросом частиц в пучке.

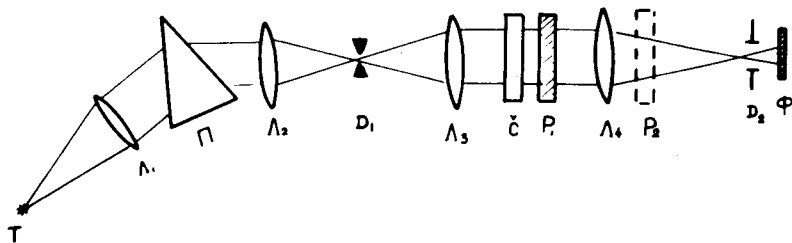


Рис. 1. Схема опыта по измерению коэффициента экстинкции в области оптического спектра и полных сечений взаимодействия при высоких энергиях.

Теоретическому обоснованию трансмиссионного метода посвящено большое количество работ [3,4,5,6]. Авторы практически каждой новой экспериментальной работы с уменьшением ошибки измерения вносят свои соображения относительно основ метода и необходимых поправок к измеряемым величинам, определяющих систематические погрешности при оценке полных сечений взаимодействия.

Среди всех факторов, ограничивающих точность измерения трансмиссионным методом, можно выделить группу, не связанную с самой идеей метода. Сюда относятся: а/ быстродействие электронной аппаратуры, ее разрешающее и просчетное время;

б/ геометрическая определенность и стабильность во времени мишени-рассеивателя.

Сами по себе эти факторы могут играть существенную роль при выборе технических средств, но, поскольку трансмиссионный метод, как правило, базируется на методике сцинтилляционных и черенковских счетчиков, а техника производства мишеней достигла очень высокого уровня [7], то указанные факторы не доминируют в суммарной систематической ошибке измерения полных сечений взаимодействия.

Главные трудности в измерениях полных сечений взаимодействия трансмиссионным методом связаны с решением следующих вопросов:

1. Выделение в измеряемых величинах чисто ядерного взаимодействия /процедура электромагнитных поправок/;

2. Экстраполяция в "нулевой телесный угол". Конечные размеры трансмиссионного счетчика приводят к тому, что часть провзаимодействовавших частиц попадает в апертуру счетчика: мишень сама становится источником /"светимость рассеивателя"/. Экстраполяция в нулевой телесный угол соответствует перемещению этого источника в бесконечность.

В дальнейшем будем рассматривать только эти два вопроса. Но прежде чем рассматривать общий случай, решим задачу в простейшем варианте, варианте "точечной геометрии".

Точечная геометрия

Будем называть геометрию трансмиссионного опыта точечной, если длина рассеивателя, содержащего n центров на квадратный сантиметр, равна нулю /что практически соответствует размещению мишени до объектива L_4 /рис. 1// и распределение частиц M по координате, перпендикулярной оси пучка (ρ), дельта-функциональное:

$$\frac{dM(\rho)}{d\rho} = M_0 \delta(\rho). \quad /1/$$

В этом случае отсчеты детектора без рассеивателя M и с рассеивателем N связаны с полным сечением взаимодействия (σ_{tot}) соотношением

$$\sigma_{tot} = \int_0^{t_i} \frac{d\sigma_{я}}{dt} dt + \int_{t_i}^{\infty} \frac{d\sigma_{я, M.}}{dt} dt = \frac{1}{n} \ln \frac{M}{N_i}, \quad /2/$$

где t - максимальный четырехмерный квадрат переданного импульса i -ого трансмиссионного счетчика;

$\frac{d\sigma_{я}}{dt}$ - эффективное ядерное дифференциальное сечение, соответствующее неупругому "инклюзивному" процессу и упругому рассеянию; $\frac{d\sigma_{я, M.}}{dt}$ - дифференци-

альное сечение электромагнитных взаимодействий. Функцию $\frac{d\sigma_{\text{я}}}{dt}$ можно записать в следующем виде:

$$\frac{d\sigma_{\text{я}}}{dt} = \frac{d\sigma}{dt}(0)e^{-bt} + \alpha^2 \frac{d\sigma}{dt}(0)e^{-Bt} + \frac{d\sigma_{\text{ин}}}{dt} \quad /3/$$

Первые два числа в этом выражении описывают упругое рассеяние, третье - неупругие взаимодействия. Параметры B и b характеризуют зависимость действительной и мнимой частей амплитуды рассеяния от переданного четырехимпульса; α - отношение этих амплитуд при $t=0$;

$\frac{d\sigma}{dt}(0)$ - квадрат мнимой части амплитуды рассеяния

/при $t=0$ /, связанной с полным сечением взаимодействия соотношением /оптическая теорема/

$$\frac{d\sigma}{dt}(0) = \frac{\sigma_{\text{tot}}^2}{16\pi} \quad /4/$$

Используя аналитическую зависимость /3/, можно вычислить "светимость источника", обусловленную упругим рассеянием:

$$\int_0^{t_i} \frac{d\sigma_{\text{я}}}{dt} dt = \frac{d\sigma}{dt}(0) \left\{ \frac{1-e^{-bt_i}}{b} + \alpha^2 \frac{1-e^{-Bt_i}}{B} \right\}.$$

Поскольку величина $\frac{d\sigma}{dt}(0)$ измеряется экспериментально /соотношение /4//, то неопределенность в величине этого интеграла связана с неопределенностью в коэффициентах B , b , α . Можно показать, что при $t \sim 10^{-2} / \text{ГэВ}/c /^2$ величина интеграла составляет 400 мкбарн, а его неопределенность ~ 10 мкбарн и эта погрешность связана в основном с ошибкой в параметре $b / \Delta b \sim 2 / \text{ГэВ}/c /^2 /$.

Вообще говоря, геометрия опыта может быть выбрана так, что трансмиссионный счетчик не будет регистрировать неупругие события. Действительно, помещая за рассеивателем дополнительную призму-монокроматор, в зна-

чительной степени можно уменьшить вероятность регистрации неупругих взаимодействий.

"Светимость источника", обусловленная неупругим рассеянием, определяется дифференциальным сечением

"инклюзивного" процесса $\frac{d^2\sigma}{dx dp_{\perp}^2}$, в общем случае за-

висящим от трех переменных: масштабной переменной $x = p/p_{\text{max}}$, перпендикулярной составляющей импульса вторичной частицы p_{\perp} и первичного импульса p_0 . Если условия эксперимента таковы, что трансмиссионный счетчик, регистрирующий вторичные частицы в интервале углов от нуля до θ_i , имеет энергетический порог регистрации вторичных частиц x_{min} , то поправка к полным сечениям взаимодействия может быть записана в виде

$$\Delta\sigma_{\text{ин}} = \int_{x_{\text{min}}}^1 dx \int_0^{(p\theta_i)^2} \frac{d^2\sigma}{dx dp_{\perp}^2} d(p\theta_i)^2.$$

Если дифференциальное сечение неупругого процесса факторизуется:

$$\frac{d^2\sigma}{dx dp_{\perp}^2} = F(x, p_0) G(p_{\perp}^2),$$

и функция $G(p_{\perp}^2)$ имеет экспоненциальный характер:

$$G(p_{\perp}^2) \approx \exp\{-b_{\text{ин}} p_{\perp}^2\},$$

то поправка $\Delta\sigma_{\text{ин}}$ может быть приведена к виду

$$\Delta\sigma_{\text{ин}} = t_i \left\{ \int_{x_{\text{min}}}^1 x^2 F(x, p_0) dx - \frac{b_{\text{ин}} t_i}{2} \int_{x_{\text{min}}}^1 x^4 F(x, p_0) dx + \dots \right\},$$

где $t_i = (p_{\text{max}} \theta_i)^2$.

В случае предельной фрагментации /большие энергии/ функция $F(x, p_0)$ не зависит от импульса p_0 и поправка к полным сечениям, обусловленная неупругими взаимодействиями, зависит только от параметров t_i и x_{min} :

$$\Delta\sigma_{\text{ин}} = t_i \left\{ \int_{x_{\text{min}}}^1 x^2 F(x) dx - \frac{b_{\text{ин}} t_i}{2} \int_{x_{\text{min}}}^1 x^4 F(x) dx + \dots \right\}.$$

Следует заметить, что зависимость $\Delta\sigma_{in}$ от параметра наклона b_{in} более слабая по сравнению с зависимостью $\Delta\sigma_{el}$ от b_{el} , так как

$$\frac{\int_{x_{min}}^1 x^4 F(x) dx}{\int_{x_{min}}^1 x^2 F(x) dx} < 1.$$

Поправку, обусловленную электромагнитным взаимо-

действием $\int_{t_i}^{\infty} \frac{d\sigma_{Э.М.}}{dt} dt$, также легко вычислить. Функция $\frac{d\sigma_{Э.М.}}{dt}$ содержит два члена. Один соответствует интерференции кулоновской амплитуды с действительной частью ядерной:

$$2ag \sqrt{\frac{d\sigma}{dt}(0)} \cdot \frac{1}{t} e^{-\frac{B}{2}t} F_N(t),$$

где $F_N(t)$ - формфактор рассеивателя и константа g равна $5,12 \cdot 10^{-16}$ см / ГэВ/с/. Другой член в функции

$\frac{d\sigma_{Э.М.}}{dt}$ обусловлен чисто электромагнитным рассеяни-

ем. Теория этого процесса для необходимых приложений разработана в работе Мольера^{/8/}. Экспериментальная проверка этой теории в интервале углов от однократного до многократного рассеяния содержится в работе Hanson et al.^{/9/}. Согласно экспериментальным данным для $t \leq (2 \div 3) \langle t \rangle$ преобладает многократное рассеяние

$$\frac{d\sigma_{Э.М.}}{dt} = \frac{1}{n} \cdot \frac{1}{\langle t \rangle} e^{-\frac{t}{\langle t \rangle}},$$

где $\langle t \rangle$ - четырехмерный переданный импульс, соответствующий среднеквадратичному углу многократного рассеяния. При больших переданных импульсах хорошим приближением является функция

$$\frac{d\sigma_{Э.М.}}{dt} = \frac{g^2}{t^2} \left(1 + \frac{\tau_1}{t}\right),$$

описывающая однократное и двукратное рассеяние. Параметр $\tau_1 \sim (1 \div 2) \langle t \rangle$. Поскольку чисто электромагнитное рассеяние существенно только при малых величинах t , мы будем полагать формфактор $F_N(t)$ равным единице.

Таким образом, функция $\frac{d\sigma_{Э.М.}}{dt}$ может быть взята в виде

$$\begin{aligned} \frac{d\sigma_{Э.М.}}{dt} = & 2a \frac{g}{t} \sqrt{\frac{d\sigma}{dt}(0)} F_N(t) e^{-\frac{B}{2}t} + \frac{1}{n \langle t \rangle} e^{-\frac{t}{\langle t \rangle}} \text{ при } t < t_k, \\ & \frac{g^2}{t^2} \left(1 + \frac{\tau_1}{t}\right) \text{ при } t > t_k. \end{aligned} \quad /5/$$

Параметр t_k определяется из условия сшивания. Теперь интеграл $\int_{t_i}^{\infty} \frac{d\sigma_{Э.М.}}{dt} dt$ можно легко вычислить. Его часть, связанная с интерференцией ($\Delta\sigma_n$), равна:

$$\Delta\sigma_n = -2ag \sqrt{\frac{d\sigma}{dt}(0)} Ei\left(-\frac{B}{2}t_i\right), \quad /6/$$

где $Ei\left(-\frac{B}{2}t_i\right)$ - интегральная показательная функция /см. Приложение/. При малых значениях аргумента имеет место приближение

$$\Delta\sigma_n = 2ag \sqrt{\frac{d\sigma}{dt}(0)} \ln \frac{1}{1.781 \frac{B}{2}t_i}. \quad /7/$$

Вклад в интеграл $\int_{t_i}^{\infty} \frac{d\sigma_{Э.М.}}{dt} dt$ от чисто электромагнитного взаимодействия вычисляется элементарно:

$$\Delta\sigma_k(t_i > t_k) = \frac{g^2}{t_i} \left(1 + \frac{\tau_1}{2t_i}\right). \quad /8/$$

Как правило, условие $t_i > t_k$ выполняется.

Оценим порядок величины систематической ошибки при вычислении электромагнитных поправок к полным сечениям взаимодействия по формулам /6/ и /8/.

Очевидно, что поправка на чисто электромагнитное взаимодействие может быть сделана с той точностью, с какой известна сама величина t_i . Принципиальную неопределенность в оценку этой поправки может внести неопределенность в знании величин электромагнитных формфакторов взаимодействующих частиц. Эта неопределенность, например, для πN -взаимодействия при варьировании радиуса пиона в пределах

$$0 \leq r_\pi \leq 0,8 \text{ Ф},$$

составляет около 3 *микробарн*. Следовательно, в пределах такой точности формфакторы частиц не влияют на точность вычислений электромагнитной поправки к полным сечениям взаимодействия.

Рассмотрим поправку к полным сечениям, связанную с интерференцией действительной части ядерной и кулоновской амплитуд. Согласно соотношению /6/ "интерференционная" поправка содержит два неизвестных параметра: отношение действительной части ядерной амплитуды рассеяния к мнимой (a) и параметр наклона $\frac{B}{2}$. Неопределенность в этих величинах и определяет систематическую погрешность в вычислении поправки к полным сечениям взаимодействия. Систематическая погрешность в вычислении поправки к полным сечениям, обусловленная неопределенностью в величине a , равна

$$2\Delta a g \sqrt{\frac{d\sigma}{dt}(0)} \ln \frac{1}{1,781 \frac{B}{2} t_i},$$

где Δa - абсолютная ошибка в определении величины a . Для πN -взаимодействия при энергиях порядка 10 *ГэВ* погрешность $\Delta a \sim 0,02$ и, следовательно, систематическая ошибка в определении поправки к полным сечениям не превышает 10 *микробарн*.

Оценим теперь систематическую ошибку в определении поправки к полным сечениям взаимодействия, обусловленную неопределенностью в параметре наклона действитель-

ной части амплитуды рассеяния ($\frac{B}{2}$). Из соотношения /7/ имеем:

$$2ag \sqrt{\frac{d\sigma}{dt}(0)} \frac{\Delta B}{B}.$$

Таким образом, эта неопределенность вообще не зависит от аргумента t_i .

В настоящее время отсутствуют экспериментальные данные по параметру наклона $B/2$. Ситуация усложняется еще и тем, что t -зависимость "интерференционного" члена - определяется еще и формфактором $F_N(t)$ /соотношение /5//. Аппроксимируя формфактор экспоненциальной зависимостью и включая неопределенность параметра экспоненциальной зависимости в неопределенность параметра наклона B , получаем

$$\Delta B \approx 3 / \text{ГэВ}/c^2.$$

Такая неопределенность в выборе формфактора в предположении, что величина a не зависит от t ($B=b$), дает систематическую погрешность в вычислении "интерференционной" поправки к полным сечениям взаимодействия порядка 15 *микробарн*.

Вообще говоря, для полноты картины следует рассмотреть поправку, обусловленную мнимой частью кулоновской амплитуды. Однако для переданных четырех импульсов $t_i > 5 \cdot 10^{-3} / \text{ГэВ}/c^2$ эта поправка не превышает 4 *микробарн* и не может вносить заметный вклад в величину полных сечений взаимодействий.

В таблице просуммированы основные рассмотренные выше вклады в систематическую ошибку полных сечений / πN -взаимодействия, в частности/.

Таблица

Неопределенность $\Delta b = 2 / \text{ГэВ}/c^2$ $\Delta a = 0,02$ $\Delta B = 3 / \text{ГэВ}/c^2$			
Систематическая ошибка в микро-барнах	10	10	15

Таким образом, можно сделать общий вывод: в случае точечной геометрии

$$\frac{dM(\rho)}{d\rho} = M_0 \delta(\rho)$$

измерения полных сечений взаимодействия по измерению величины сечения при одном значении переданного четырехимпульса /один трансмиссионный счетчик/ можно найти полное сечение взаимодействия введением известных поправок на "светимость источника". При этом возможная систематическая ошибка в полном сечении взаимодействия будет порядка 20 микробарн.

Протяженная геометрия трансмиссионного опыта

В протяженной геометрии опыта интегралы в выражении /2/ необходимо усреднить по длине рассеивателя (ℓ), если он размещен за объективом L_4 /рис. 1/, и провести усреднение по распределению первичных /мониторных/ частиц

$$w(\rho) = \frac{dM}{d\rho}(\rho).$$

В распределении $w(\rho)$ можно выделить в основном три фактора: "аппаратурный", "фоновый" и "распадный". Аппаратурная часть распределения $w_A(\rho)$ определяется aberrациями магнитной оптики и, в первом приближении, описывается экспоненциального вида распределением

$$w_A(\rho) = \frac{C_1}{\langle \rho_A \rangle} e^{-\frac{\rho}{\langle \rho_A \rangle}}. \quad /9/$$

В реальной постановке трансмиссионного эксперимента всегда присутствует на пути частиц постороннее /помимо рассеивателя/ вещество /счетчики, воздух и т.д./. "Светимость" этого постороннего вещества определяет "фоновое распределение" $w_\Phi(\rho)$, которое также можно взять в виде

$$w_\Phi(\rho) = \frac{C_2}{\langle \rho_\Phi \rangle} e^{-\frac{\rho}{\langle \rho_\Phi \rangle}}, \quad /10/$$

где константа C_2 есть полное число фоновых взаимодействий ($n_\Phi \sigma_\Phi$), а $\langle \rho_\Phi \rangle^{-1}$ - параметр наклона рассеяния на фоновом веществе.

В случае измерения полных сечений взаимодействия нестабильных частиц /пионы, каоны/ возникает "распадная" компонента распределения мониторных частиц:

$$w_p(\rho) = \frac{C_3}{2\rho_{\max}} \cdot \frac{1}{\sqrt{1 - \frac{\rho}{\rho_{\max}}}}. \quad /11/$$

Коэффициент C_3 есть просто доля распадов /примесь мюонов в первичном пучке/, а ρ_{\max} - максимально возможный по кинематике распада квадрат переданного четырехимпульса:

$$\rho_{\max} = \left(\frac{m}{\mu} p\right)^2, \quad /12/$$

где m - масса распадающейся частицы, μ - масса мюона и p - импульс мюона в системе покоя распадающейся частицы. Для пионов и каонов величина ρ_{\max} равна соответственно $2,5 \cdot 10^{-3}$ и $1,2$ /ГэВ/с/2.

В экспериментах по измерению полных сечений практически всегда мюонная компонента, отфильтрованная ядерным поглотителем, включается на антисовпадение к трансмиссионному детектору и, следовательно, коэффициент C_3 необходимо умножить на неэффективность исключения мюонной компоненты указанным методом:

$$C_3 = C_3^{(0)} (1 - \epsilon_\mu).$$

Вообще говоря, все три рассмотренных фактора, формирующих результирующее распределение $w(\rho)$, действуют одновременно. Однако, в первом приближении, суммарное распределение $w(\rho)$ будем считать равным

$$w(\rho) = w_A(\rho) + w_\Phi(\rho) + w_p(\rho). \quad /13/$$

При этом коэффициент C_1 будем определять из условия нормировки на единичный мониторный отсчет:

$$\int_0^{\infty} w(\rho) d\rho = 1.$$

Отличие протяженной геометрии опыта от точечной состоит в том, что в соотношении /2/, соответствующем парциальному сечению взаимодействия σ_i , необходимо усреднить отсчеты M и N_i по распределению $w(\rho)$. Мы будем полагать, что отсчеты на "пустой" мишени $N(\Pi)$ распределены по закону

$$w(\rho) = \frac{dN(\Pi)}{d\rho} = \sum_{\langle \rho_j \rangle} \frac{C_j}{\langle \rho_j \rangle} e^{-\frac{\rho}{\langle \rho_j \rangle}}, \quad /14/$$

где $\langle \rho_1 \rangle = \langle \rho_A \rangle$ и $\langle \rho_2 \rangle = \langle \rho_\Phi \rangle$. Очевидно, что i -ый трансмиссионный счетчик, соответствующий максимальному значению параметра ρ_i , в случае "пустой" мишени регистрирует $N_i(\Pi)$ отсчетов:

$$N_i(\Pi) = \int_0^{\rho_i} \frac{dN(\Pi)}{d\rho} d\rho = \sum_j C_j (1 - e^{-\frac{\rho_i}{\langle \rho_j \rangle}}). \quad /15/$$

Вещество рассеивателя изменяет распределение частиц. Если дифференциальное сечение на веществе рассеивателя имеет экспоненциальный вид

$$\frac{d\sigma_{\text{я}}}{d\tau} = A e^{-a\tau}, \quad /16/$$

то распределение частиц $\frac{dN_{\text{я}}(P)}{d\rho}$ после "включения"

ядерного рассеяния, очевидно, будет иметь следующий вид:

$$\frac{dN_{\text{я}}(P)}{d\rho} = e^{-\sigma_t n} \frac{dN(\Pi)}{d\rho} + \int_0^n e^{-\sigma_t x} dx \int_0^{\infty} \frac{dN(\Pi)}{d\rho'} d\rho' \frac{1}{2\pi} \int_0^{2\pi} A e^{-a\tau} d\phi, \quad /17/$$

где $\tau = \rho + \rho' - 2\sqrt{\rho\rho'} \cos\phi$ и σ_t - полное сечение ядерного взаимодействия.

Распределение $\frac{dN_{\text{я}}(P)}{d\rho}$ необходимо усреднить еще и

по многократному электромагнитному рассеянию, которое

при малых углах рассеяния описывается экспоненциальной функцией

$$\frac{d\sigma_k}{d\tau} = \frac{1}{\langle t \rangle} e^{-\frac{\tau}{\langle t \rangle}},$$

где $\langle t \rangle$ - среднее значение четырехимпульса, соответствующее среднеквадратичному углу многократного рассеяния. Таким образом, суммарное распределение частиц при "включении" ядерного и многократного взаимодействия будет иметь вид:

$$\frac{dN(\rho)}{d\rho} = \int_0^{\infty} \frac{dN_{\text{я}}(P)}{d\rho''} d\rho'' \frac{1}{2\pi} \int_0^{2\pi} \frac{1}{\langle t \rangle} e^{-\frac{\tau'}{\langle t \rangle}} d\phi, \quad /18/$$

где $\tau' = \rho + \rho'' - 2\sqrt{\rho\rho''} \cos\phi$.

Соотношение /17/ легко интегрируется:

$$\begin{aligned} \frac{dN(P)}{d\rho} = e^{-\sigma_t n} \left\{ \sum_j \frac{C_j}{\langle \rho_j \rangle + \langle t \rangle} e^{-\frac{\rho}{\langle \rho_j \rangle + \langle t \rangle}} + \frac{A}{a} \frac{1 - e^{-\sigma_t n}}{\sigma_t} \sum_j \frac{C_j}{\frac{1}{a} + \langle \rho_j \rangle + \langle t \rangle} \times \right. \\ \left. \times e^{-\frac{\rho}{\frac{1}{a} + \langle \rho_j \rangle + \langle t \rangle}} \right\}, \quad /19/ \end{aligned}$$

и, следовательно, i -й трансмиссионный счетчик регистрирует число отсчетов, равное

$$N_i(P) = e^{-\sigma_t n} \left\{ \sum_j C_j (1 - e^{-\frac{\rho_i}{\langle \rho_j \rangle + \langle t \rangle}}) + \frac{A}{a} \frac{1 - e^{-\sigma_t n}}{\sigma_t} \sum_j C_j (1 - e^{-\frac{\rho_i}{\frac{1}{a} + \langle \rho_j \rangle + \langle t \rangle}}) \right\}. \quad /20/$$

Парциальное сечение σ_i для соответствующего счетчика в случае протяженной геометрии /П.Г./, зависящее от величин $\sigma_t, n, A, a, \langle t \rangle, \langle \rho_j \rangle$, по определению, равно:

$$\sigma_i^{\text{П.Г.}} = \frac{1}{n} \ln \frac{N_i(\Pi)}{N_i(P)}. \quad /21/$$

В случае точечной геометрии /Т.Г./ парциальное сечение $\sigma_i^{Т.Г.}$ может быть найдено из соотношения /21/ при $\langle \rho_i \rangle = 0$. В дальнейшем, чтобы выяснить влияние геометрии опыта на величину предела последовательности парциальных сечений σ_i /получаемого с помощью аналитической функции регрессии/ при стремлении ρ_i к нулю на конечном экспериментально заданном интервале $\rho_{\min} \div \rho_{\max}$, мы рассмотрим разницу:

$$\Delta \sigma_i = \sigma_i^{Т.Г.} - \sigma_i^{П.Г.} = \quad /22/$$

$$= \frac{1}{n} \ln \frac{\sum C_j (1 - e^{-\frac{\rho_j}{\langle \rho_j \rangle + \langle t \rangle}}) + \frac{A}{a} \frac{1 - e^{-\sigma_i n}}{\sigma_i} \sum C_j (1 - e^{-\frac{\rho_j}{\frac{1}{a} + \langle \rho_j \rangle + \langle t \rangle})}}{[1 - e^{-\frac{\rho_i}{\langle t \rangle}} + \frac{A}{a} \frac{1 - e^{-\sigma_i n}}{\sigma_i} (1 - e^{-\frac{\rho_i}{\frac{1}{a} + \langle t \rangle}})] \sum C_j (1 - e^{-\frac{\rho_j}{\langle \rho_j \rangle}})}$$

Очевидно, что предел последовательности величин $\Delta \sigma_i$, получаемый с помощью аналитической функции регрессии, выбранной для фитирования величин $\sigma_i^{П.Г.}$ /для заданного интервала $\rho_{\min} \div \rho_{\max}$ /, определяет систематическую погрешность процедуры экстраполяции, связанную с протяженностью геометрии опыта. Следует подчеркнуть, что этот предел не равен нулю при $\rho_i \rightarrow 0$.

В опубликованных работах по измерению полных сечений взаимодействия, выполненных методикой трансмиссионных счетчиков, не исследуется влияние неточности геометрии опыта на экстраполяционную процедуру. С другой стороны, имеются экспериментальные данные /10,11/ работ по измерению полных сечений взаимодействия протонов с протонами и дейтерием при одном и том же импульсе первичных частиц /3 ГэВ/с/, в которых наблюдается необъяснимая /в пределах ошибок эксперимента/, как утверждается в работе /12/, разница в измеренных величинах σ_i :

$$\begin{aligned} \Delta \sigma_{pp} &= 140 \pm 70 \text{ микробарн,} \\ \Delta \sigma_{pd} &= 1090 \pm 90 \text{ микробарн.} \end{aligned}$$

Согласно условиям эксперимента работы /10/ и /11/ существенно различаются по коэффициенту C_2 /соотношение /10/, то есть по количеству фонового вещества. В работе /10/ $C_2 = 10^{-2}$, в работе /11/ $C_2 = 10^{-1}$. Все остальные необходимые параметры в выражении /22/ одного порядка.

Оценим влияние неточности геометрии на процедуру экстраполяции экспериментальных данных в нулевой телесный угол. Дифференциальное ядерное рассеяние возьмем в виде суммы неупругого и упругого взаимодействий:

$$\frac{d\sigma}{dt} = A_{in} e^{-a_{in} t} + B_{el} e^{-a_{el} t}.$$

Параметры этой функции имеют следующие значения /11/: для pp -взаимодействия $A_{in} = A_{el} = 110 \text{ мбарн/ГэВ/с}^2$, $a_{in} = a_{el} = 8 \text{ /ГэВ/с}^{-2}$; для pd -взаимодействия $A_{in} = 220 \text{ мбарн/ГэВ/с}^2$, $A_{el} = 440 \text{ мбарн/ГэВ/с}^2$, $a_{in} = 8 \text{ /ГэВ/с}^{-2}$ и $a_{el} = 35 \text{ /ГэВ/с}^{-2}$.

На рис. 2 приведены результаты вычислений разницы величин $\Delta \sigma_i$ /соотношение /22// для геометрии эксперимента работ /10,11/ с параметрами распределения частиц в первичном пучке $\langle \rho_A \rangle = 5 \cdot 10^{-4} \text{ /ГэВ/с}^{-2}$, $\langle \rho_{\Phi} \rangle = 10^{-2} \text{ /ГэВ/с}^{-2}$. Сплошные кривые дают результат вычислений по соотношению /22/, пунктирные есть результат экстраполяции с помощью функции регрессии вида

$$\Delta \sigma_i = A + Bt + Ct^2$$

в точку $t=0$. Как видно из рисунка, экстраполяция в нулевой телесный угол дает разницу для pp -взаимодействия порядка 180 микробарн и для pd -взаимодействия порядка 400 микробарн. Таким образом, учет неточности геометрии полностью объясняет разницу в полных сечениях pp -взаимодействия /140±70 микробарн/ и значительную часть разницы в pd -взаимодействии. Следует подчеркнуть следующее обстоятельство. Из рис. 2 видно, что зависимость $\Delta \sigma_i$ от четырехимпульса t не может быть описана квадратичным полиномом по t . По-видимому, именно это обстоятельство приводит к тому, что результат экстраполяции экспериментальных данных σ_i протяженной геометрии не является устойчивым относительно изменения интервала $t_{\min} \div t_{\max}$.

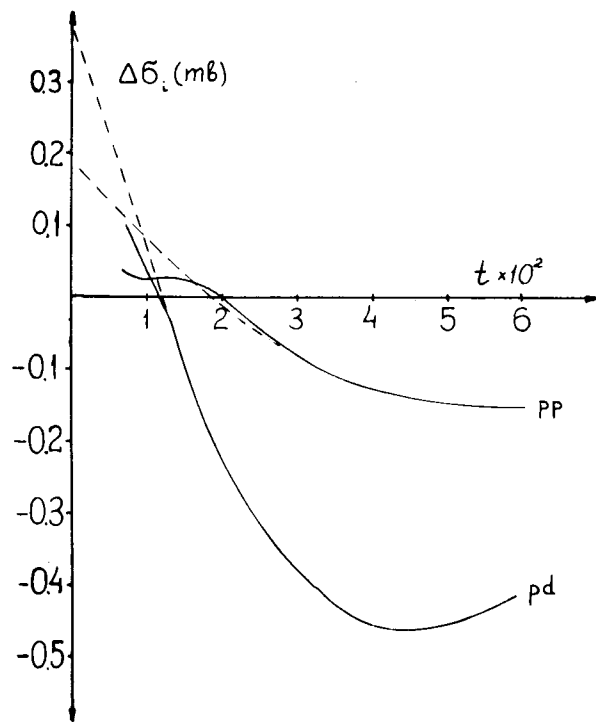


Рис. 2. Поправка к полным сечениям взаимодействия в зависимости от четырехмерного переданного импульса для протяженной геометрии опыта.

С другой стороны, поскольку параметры, характеризующие распределение частиц в пучке ($\langle p_i \rangle$, C_i), строго говоря, не известны в конкретной постановке трансмиссионного эксперимента, а сама поправка $\Delta\sigma$ и ее зависимость от аргумента t существенно меняются при варьировании этих параметров, то можно думать, что именно эта поправка вносит наибольшую неопределенность в измерения полных сечений взаимодействия с помощью метода трансмиссионных счетчиков.

Точный расчет рассмотренных поправок /по методу Монте-Карло/ возможен, если достаточно хорошо известны параметры пучка, т.е. функция распределения $w(\rho)$.

Обычно функция $w(\rho)$, часто называемая "профилем пучка", в трансмиссионных экспериментах находится экспериментально с помощью узкого сцинтилляционного счетчика. Следует подчеркнуть, что рассмотренная поправка в интервале переданных четырехимпульсов $10^{-2} \div 5 \cdot 10^{-2}$ соответствует сечению в "профиле пучка" $10^{-2} \div 10^{-3}$ по отношению к сечению в максимуме.

Как можно видеть из рисунка, рассмотренная поправка дает существенно разный вклад в величины полных сечений взаимодействия в зависимости от области переменной t , где проводятся измерения. Это обстоятельство усложняет процедуру экстраполяции к нулевым значениям t .

Экстраполяционная процедура

Экстраполяционная процедура в методе трансмиссионных счетчиков состоит в нахождении предела последовательности экспериментально измеряемых величин /после вычитания вклада электромагнитных взаимодействий/

$$\frac{1}{n} \ln \frac{M}{N_i} - \int_{t_i}^{\infty} \frac{d\sigma_{\text{э.м.}}}{dt} dt = \sigma(t_i)$$

при стремлении t_i к нулю методом максимума правдоподобия:

$$\sigma_t = \lim \sigma(t_i).$$

Обычно экстраполяционная процедура сводится к нахождению функции регрессии, наилучшим образом описывающей зависимость величин $\sigma(t_i)$ /либо их логарифмов/ от аргумента t_i . В качестве функции регрессии выбирается, как правило, полином вида

$$\sigma(t_i) = \sum_{k=1}^m a_k t_i^{k-1}. \quad /23/$$

Задача экстраполяционной процедуры состоит в нахождении коэффициентов разложения a_k . Очевидно, что $\sigma_{\text{tot}} = a_1$ и максимальное число коэффициентов разложения не должно превышать число экспериментальных точек: $m \leq i_{\text{max}}$.

Прежде всего рассмотрим простейший случай: $m = i_{\text{max}}$.

Коэффициенты разложения a_k можно найти, решая систему линейных уравнений. Пусть для простоты $t_i = it_1$. Тогда имеем:

$$\begin{aligned}\sigma_{tot} &= 2\sigma(t_1) - \sigma(t_2) \quad (i=2), \\ \sigma_{tot} &= \sigma(t_3) + 3[\sigma(t_1) - \sigma(t_2)] \quad (i=3), \\ \sigma_{tot} &= 4[\sigma(t_1) + \sigma(t_3)] - 6\sigma(t_2) - \sigma(t_4) \quad (i=4).\end{aligned}$$

Для равнооточных измерений величин $\sigma(t_i)$ ошибка в σ_{tot} равна:

$$\begin{aligned}\Delta\sigma_{tot} &= \sqrt{5} \Delta\sigma, \quad i=2, \\ \Delta\sigma_{tot} &= \sqrt{19} \Delta\sigma, \quad i=3, \\ \Delta\sigma_{tot} &= \sqrt{69} \Delta\sigma, \quad i=4.\end{aligned}$$

Эта простая модель при всей своей "парадоксальности" /увеличение числа экспериментальных точек (i) сильно увеличивает ошибку в величине σ_{tot} / иллюстрирует важность высокочастотных компонент /большие K / в выражении /23/.

Стандартная процедура уменьшения числа членов в сумме /23/ определена в методе максимального правдоподобия. Необходимое число коэффициентов в выражении /23/ определяется из условия

$$\chi^2 \approx (i_{max} - k), \quad /24/$$

т.е. сумма квадратов отношений разностей экспериментальных значений $\sigma(t_i)$ и соответствующих величин функции регрессии к статистической ошибке в величине $\sigma(t_i)$ должна быть равна разности между числом экспериментальных точек (i) и числом варьируемых параметров (k).

Однако основной вопрос экстраполяционной процедуры заключается в определении систематической погрешности в величине полных сечений взаимодействия, т.е. параметра a_1 .

Можно выделить два источника систематической ошибки. Во-первых, это отсутствие полной информации об аналитическом виде функции регрессии, во-вторых - систематические погрешности в экспериментальных величинах $\sigma(t_i)$ и в особенности их зависимость от аргумента t , связанная с неточностью геометрии опыта.

Выводы

1. Систематическая ошибка в измерениях полных сечений взаимодействия трансмиссионным методом /протяженная геометрия опыта/ определяется фоновым рассеянием и процедурой экстраполяции в нулевой телесный угол и по порядку величины составляет $100 \div 300$ микробарн.

2. Метод трансмиссионных счетчиков может быть приведен к практически точечной геометрии при следующих условиях:

а/ рассеиватель должен размещаться в параллельном участке первичного пучка,

б/ количество фонового вещества должно быть сведено к нулю, либо

в/ в процессе эксперимента должно измеряться "фоновое распределение" $w(\rho)$ с необходимой точностью.

Приложение

Действительные ветви интегральных показательных функций допускают представление в виде

$$Ei(-x) = \int_{-\infty}^{-x} \frac{e^t}{t} dt,$$

$$Ei^*(x) = \int_{-\infty}^x \frac{e^t}{t} dt,$$

где второй интеграл понимается как главное значение. При $x \gg 1$ функции имеют асимптотики:

$$Ei(-x) \approx \frac{e^{-x}}{-x} \left(1 - \frac{1}{x} + \frac{2!}{x^2} - \frac{3!}{x^3} + \dots \right),$$

$$Ei^*(x) \sim \frac{e^x}{x} \left(1 + \frac{1}{x} + \frac{2!}{x^2} + \frac{3!}{x^3} + \dots \right).$$

При $x \ll 1$ имеем: $E_i^*(x) \simeq E_i(-x) \simeq \ln \gamma x$,

где γ - постоянная Эйлера $\gamma = 1,781/$.

Литература

1. F.A.Jenkins, H.E.White. *Fundamentals of Optics*, London (1957).
2. Р.В.Поль. *Оптика и атомная физика*. "Наука", М., 1966.
3. R.M.Sternheimer. *Rev. of Scient. Instr.*, v.25, 1070 (1954).
4. U.Amaldi, T.Fazzini, G.Fidecaro, C.Ghesquiere, M.Legros and Steiner. *Nuovo Cimento*, v.34, No. 4, 825 (1964).
5. D.V.Bugg, D.C.Salter, G.H.Stafford, R.F.George, K.F.Riley and R.J.Tapper. *Phys.Rev.*, v. 146, No. 4, 980 (1966).
6. Ю.П.Горин, С.П.Денисов, С.В.Донсков, А.И.Петрухин, Ю.Д.Прокошкин, Д.А.Стойнова, Дж.В.Аллаби, Дж.Джакомелли. *ЯФ*, т. 14, вып. 5 /1971/.
7. Ю.Т.Борзунов, Л.Б.Голованов, В.Л.Мазарский, А.П.Цвинев. *Сообщение ОИЯИ*, Р8-5212, Дубна, 1970.
8. G.Moliere. *Zs. F. Naturforschung*, 3a, 78 (1948).
9. A.O.Hanson, L.H.Lanzl, E.M.Lyman, and M.B.Scott. *Phys.Rev.*, v.84, 634 (1951).
10. D.V.Bugg, D.C.Salter, G.H.Stafford, R.F.George, K.F.Riley, R.J.Tapper. *Phys.Rev.*, 146, 980 (1966).
11. R.J.Abrams, R.L.Cool, G.Giacomelli, T.F.Kycia, B.A.Leontic, K.K.Li, D.N.Michafi. *Phys.Rev.*, D1, 2477 (1970).
12. K.F.Riley. *Phys.Rev.*, D1, 2481 (1970).

Рукопись поступила в издательский отдел
31 октября 1974 года.